

КРАТКИЕ СООБЩЕНИЯ

УДК 548.73

[Ni(en)₃](ReO₄)₂. СИНТЕЗ, КРИСТАЛЛИЧЕСКАЯ СТРУКТУРА, ТЕРМИЧЕСКИЕ СВОЙСТВА

© 2012 Е. А. Быкова^{1*}, С. П. Храненко¹, С. А. Громилов^{1,2}

¹Учреждение Российской академии наук Институт неорганической химии им. А. В. Николаева СО РАН, Новосибирск

²Новосибирский государственный университет, Научно-образовательный комплекс "Наносистемы и современные материалы"

Статья поступила 26 января 2011 г.

Изучена кристаллическая структура [Ni(en)₃](ReO₄)₂ (en – этилендиамин): $a = 8,3997(2)$, $b = 15,6167(5)$, $c = 14,2406(4)$ Å, $\beta = 100,378(1)^\circ$, $V = 1837,46(9)$ Å³, пр. гр. $P2_1/c$, $Z = 4$, $d_x = 2,673$ г/см³. Показано, что упаковку комплексных катионов можно рассматривать как однослойную псевдогексагональную. Путем термического разложения соли в атмосфере водорода при 550 °C получена смесь никеля с нанокристаллическим твердым раствором Re_{0,87}Ni_{0,13} ($a = 2,733(2)$, $c = 4,400(3)$ Å, пр. гр. $P6_3/mmc$, размеры ОКР ~14 нм).

Ключевые слова: никель, рений, этилендиамин, термолиз, кристаллохимия, рентгеноструктурный анализ.

Сплавы никеля с рением обладают большой стойкостью к высоким температурам и к перепадам температур, такие характеристики позволяют использовать их, в частности, для изготовления деталей газовых турбин. Температуры плавления указанных металлов достаточно высоки, поэтому представляется перспективным получение сплавов и изделий нетрадиционными способами, например путем термического разложения биметаллических комплексных солей. Такой подход позволяет получать металлические фазы в нанокристаллическом состоянии [1–10]. В настоящей работе изучена кристаллическая структура и термические свойства одного из возможных предшественников сплавов никеля с рением — [Ni(en)₃](ReO₄)₂ (en — этилендиамин).

[Ni(en)₃](ReO₄)₂ синтезировали следующим образом. 1 ммоль Ni(NO₃)₂·6H₂O (0,291 г) и 2 ммоля NaReO₄ (0,547 г) растворяли в 2 мл воды и вносили в раствор 5 мл водного раствора этилендиамина с концентрацией 3 ммоль/мл. Реакционную смесь активно перемешивали, а через 2–3 мин из смеси выделялась светло-сиреневая твердая фаза. Стакан с реакционной смесью охлаждали ледяной водой, отсасывали осадок на стеклянном фильтре, промывали 4–5 мл ледяной воды, затем смесью воды с ацетоном (2:8). После чего осадок дважды промывали чистым ацетоном и высушивали на воздухе при комнатной температуре. Выход составил 90 %. Полученный продукт растворяется в воде и не растворяется в бензоле, хлороформе, этиловом спирте, ацетоне, хлористом метилене. Анализ на содержание C, H, N выполнен на CHN-анализаторе Euro EA 3000. Найдено, %: C 9,6, H 3,3, N 11,4. Для C₆H₂₄N₆O₈NiRe₂ вычислено, %: C 9,75, H 3,27, N 11,37.

ИК спектры регистрировали на ИК—Фурье спектрометрах Scimitar FTS-2000, Vertex 80 в области 4000–80 см⁻¹. Образцы готовили в виде таблеток, запрессованных с KBr. ИК: 3339c, 3281c, 3168сл, 2955ср, 2930сл, 2884ср, 1596ср, 1575ср, 1461ср, 1372сл, 1277сл, 1144сл, 1101сл, 1023c, 972ср, 912c, 671ср, 518ср, 478сл, 402сл.

* E-mail: knilav@ngs.ru

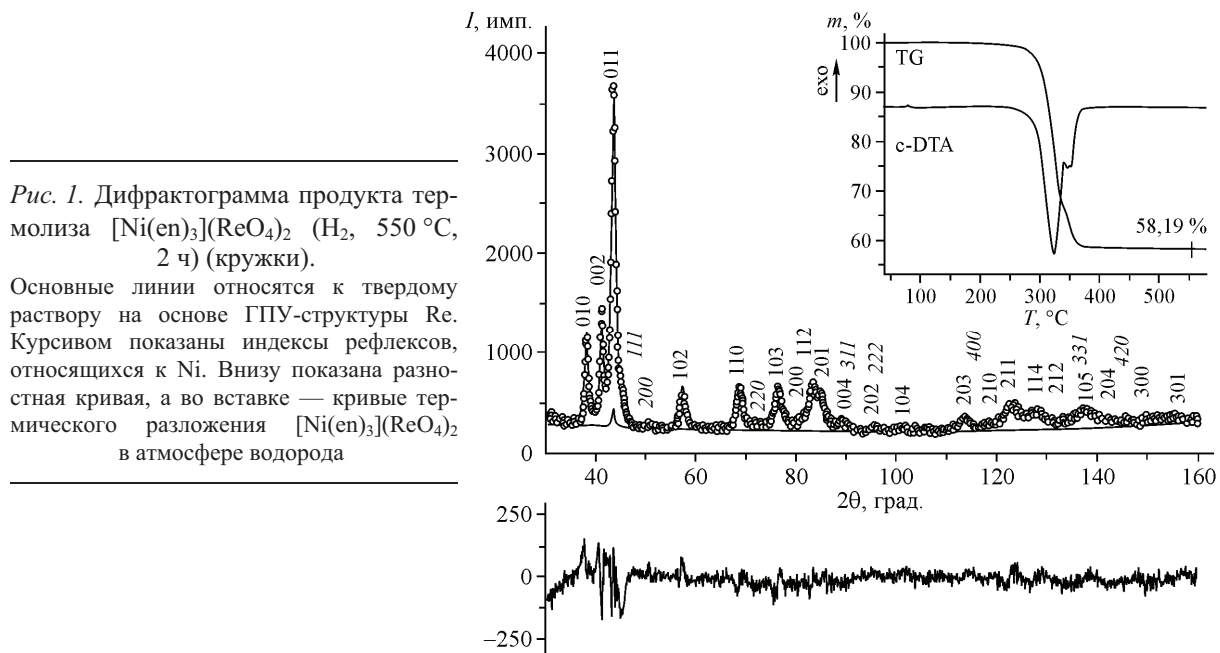


Рис. 1. Дифрактограмма продукта термолиза $[Ni(en)_3](ReO_4)_2$ (H_2 , $550^\circ C$, 2 ч) (кружки).

Основные линии относятся к твердому раствору на основе ГПУ-структуры Re. Курсивом показаны индексы рефлексов, относящихся к Ni. Внизу показана разностная кривая, а во вставке — кривые термического разложения $[Ni(en)_3](ReO_4)_2$ в атмосфере водорода

Термическое разложение $[Ni(en)_3](ReO_4)_2$ проводили на модифицированном дериватографе Q-1000 (Al_2O_3 -тигель, поток H_2 1 л/мин, скорость нагрева 10 град./мин). При достижении $T = 550^\circ C$ продукт выдерживали при заданной температуре в течение 2 ч, а затем его продували гелием для удаления остатков водорода. Кривые термического разложения $[Ni(en)_3](ReO_4)_2$ приведены во вставке рис. 1. Комплексная соль разлагается в интервале температур 250—400 °C. Для суммы металлов соотношение вычислено/найдено (%) составляет 58,31/58,19 ($T = 550^\circ C$).

Для получения монокристаллов $[Ni(en)_3](ReO_4)_2$, пригодных для рентгеноструктурного анализа, проводили перекристаллизацию синтезированного продукта из водного раствора. Полученные монокристаллы представляли собой светло-сириевые пластинки с ромбическим основанием. Исследование монокристалла с размерами $0,12 \times 0,08 \times 0,05$ мм проведено на автоматическом дифрактометре X8 APEX фирмы "Bruker" (MoK_α -излучение, графитовый монохроматор) при $T = 123$ и $20^\circ C$. Кристаллографические данные $[Ni(en)_3](ReO_4)_2$, условия проведения экспериментов и характеристики уточнения кристаллических структур приведены в табл. 1. Можно отметить небольшое отрицательное тепловое расширение кристалла вдоль оси x при общем относительном увеличении объема элементарной ячейки на 1,2 %. Структура решена прямым методом и уточнена в анизотропном (изотропном — для атомов водорода) приближении. Атомы водорода локализованы геометрически. Все расчеты выполнены по комплексу программ SHELX-97 [11]. Координаты и тепловые параметры атомов депонированы в Кембриджский банк структурных данных CCDC [12] (соответствующие номера указаны в табл. 1) и могут быть получены по адресу www.ccdc.cam.ac.uk/data_request/cif.

Рентгенодифрактометрическое исследование соли и продукта ее термолиза проведено на дифрактометре ARL X'TRA (CuK_α -излучение, полупроводниковый детектор, комнатная температура). Дифрактограмма соли полностью проиндексирована по данным исследования отобранных из общей массы монокристалла (см. данные для $T = 20^\circ C$), что свидетельствует об ее однозначности. Дифрактограмма продукта термолиза приведена на рис. 1.

Кристаллическая структура построена из комплексных катионов $[Ni(en)_3]^{2+}$ и перренатионов. На рис. 2 приведен фрагмент кристаллической структуры с нумерацией атомов и эллипсоидами тепловых колебаний. В структуре можно выделить слои, образованные катионами и анионами в направлении [2 0 1] (рис. 3). Хорошо виден псевдогексагональный мотив расположения комплексных катионов, расстояния $Ni \dots Ni$ 7,195 и 8,400 Å. Меньшие по размеру пер-

Таблица 1

Кристаллографические характеристики $[\text{Ni}(\text{en})_3](\text{ReO}_4)_2$

Температура, °C	-123	20
$a, b, c, \text{\AA}$	8,3997(2), 15,6167(5), 14,2406(4)	8,3868(2), 15,7749(5), 14,2747(4)
β , град.	100,378(1)	100,204(1)
Пр. гр.	$P2_1/c$	$P2_1/c$
Z	4	4
$V, \text{\AA}^3$	1837,46(9)	1858,68(9)
$\Delta V/V(-123 \Rightarrow 20 \text{ } ^\circ\text{C})$		0,012 \uparrow
$d_{\text{выч}}, \text{г}/\text{см}^3$	2,673	2,642
Размер кристалла, мм	0,12×0,08×0,05	0,12×0,08×0,05
Диапазон сбора данных по θ , град.	2,47—30,51	2,47—30,51
Число измер. / независ. рефлексов	23747 / 5595	19015 / 5674
Число независимых рефлексов [$I > 2\sigma(I)$]	4666	4560
$R_{\text{интегр.}}$	0,0331	0,0251
Полнота сбора данных ($2\theta = 50^\circ$), %	99,8	99,9
Число уточняемых параметров	209	209
S -фактор по F^2	1,012	1,059
$R_1 / wR_2 [I > 2\sigma(I)]$	0,0214 / 0,0389	0,0248 / 0,0533
R_1 / wR_2 (все данные)	0,0306 / 0,0408	0,0360 / 0,0556
CCDC №	808804	808805

ренат-анионы сгруппированы в "четверки", образующие паркетную укладку, кратчайшие расстояния $\text{Re}\dots\text{Re}$ 4,3152(2) и 4,7026(2) Å.

Исходя из того, что анионы гораздо меньше по размерам катионов, а также, что ReO_4^- объединяются в "четверки", при расчете трансляционной подрешетки [13] мы ориентировались на

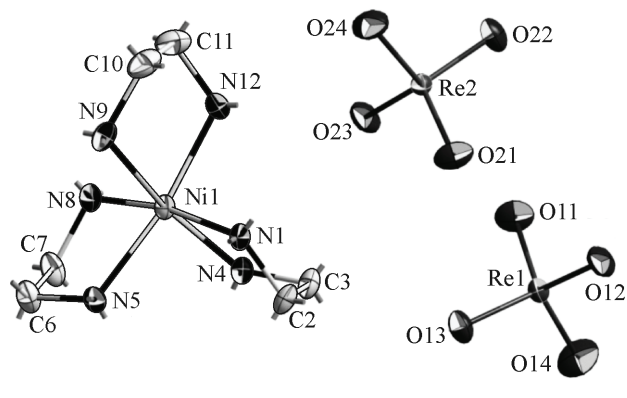


Рис. 2. Нумерация атомов и эллипсоиды тепловых колебаний в кристаллической структуре $[\text{Ni}(\text{en})_3](\text{ReO}_4)_2$

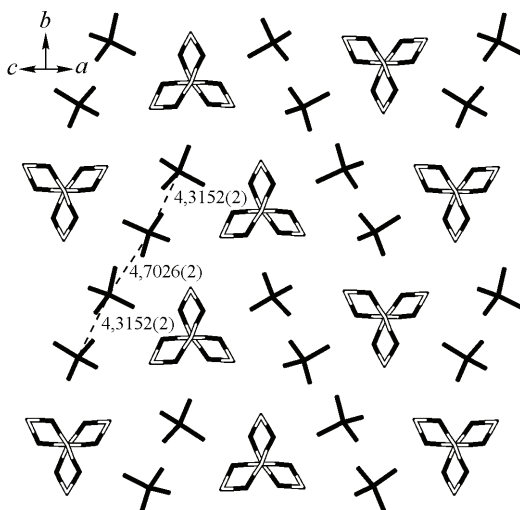


Рис. 3. Строение отдельного слоя вдоль направления [2 0 1]. Анионы ReO_4^- сгруппированы в "четверки", образующие паркетную укладку, показаны расстояния $\text{Re}\dots\text{Re}$. Атомы H не показаны

Т а б л и ц а 2

Геометрические характеристики $[\text{Ni}(\text{en})_3](\text{ReO}_4)_2$

Параметр	-123°C	20°C
$\text{Ni}-\text{N}, \text{\AA}$	2,121(3)–2,142(3)	2,114(3)–2,136(3)
$\text{Ni}-\text{N}_{\text{cp}}, \text{\AA}$	2,132(3)	2,129(3)
$\angle \text{N}-\text{Ni}-\text{N}, \text{град.}$	81,15(11)–81,55(9)	81,16(15)–81,21(11)
$\angle \text{N}-\text{Ni}-\text{N}_{\text{cp}}, \text{град.}$	81,39(11)	81,18(15)
$\text{N}-\text{C}, \text{\AA}$	1,470(4)–1,486(4)	1,470(5)–1,475(5)
$\text{N}-\text{C}_{\text{cp}}, \text{\AA}$	1,479(4)	1,472(5)
$\text{C}-\text{C}, \text{\AA}$	1,503(5)–1,527(4)	1,473(9)–1,498(6)
$\text{C}-\text{C}_{\text{cp}}, \text{\AA}$	1,515(5)	1,490(9)
$\text{Re}-\text{O}, \text{\AA}$	1,714(3)–1,734(2)	1,691(4)–1,716(3)
$\text{Re}-\text{O}_{\text{cp}}, \text{\AA}$	1,723(3)	1,704(4)
$\angle \text{O}-\text{Re}-\text{O}, \text{град.}$	108,5(2)–111,2(2)	107,4(2)–111,4(2)
$\angle \text{O}-\text{Re}-\text{O}_{\text{cp}}, \text{град.}$	109,5(2)	109,5(2)

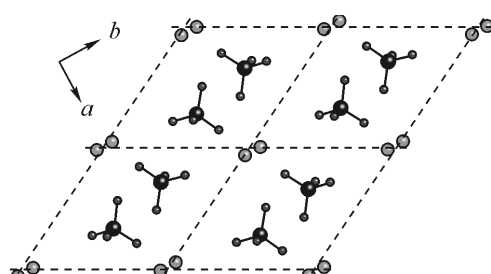
поиск взаимного расположения только комплексных катионов. Для этого была вычислена дифрактограмма только по атомам Ni. Такой подход был использован в ряде подобных случаев в работах [14, 15]. Наиболее симметричная подрешетка образуется при пересечении семейств плоскостей $(1\ 1\ 0)$, $(1\ -1\ 0)$, $(0\ 0\ 2)$. Параметры подрешетки: $a_t = 8,87$, $b_t = 8,87$, $c_t = 7,12 \text{ \AA}$, $\alpha_t = 94,9$, $\beta_t = 94,9$, $\gamma_t = 123,5^\circ$. Вершинам такого псевдогексагонального полиэдра следуют катионы $[\text{Ni}(\text{en})_3]^{2+}$ (табл. 2). На рис. 4 показано реальное расположение фрагментов структуры — внутри катионной подъячейки два аниона ReO_4^- .

Дифрактограмма продукта термолиза (см. рис. 1) содержит линии, принадлежащие ГПУ-фазе на основе структуры рения и никелю. Полнoproфильное уточнение выполнено по программе POWDER CELL [16], для аппроксимации пиков использована функция Лоренца. Кристаллографические характеристики ГПУ-фазы: $a = 2,733(2)$, $c = 4,400(3) \text{ \AA}$, $V/Z = 14,23(2) \text{ \AA}^3$, размеры областей когерентного рассеяния $\sim 14 \text{ нм}$, величина микронапряжений 0,6 %. Исходя из зависимости Ретгерса, состав этой фазы $\text{Re}_{0,87}\text{Ni}_{0,13}$, что хорошо соответствует данным, приведенным в [17, с. 630]: "Максимальная растворимость Ni в Re составляет 14,12 % (ат.) и почти не меняется с температурой".

Авторы выражают благодарность к.х.н. А.В. Задесенцу за проведение термического исследования.

Работа выполнена при поддержке гранта Российского фонда фундаментальных исследований № 11-03-00668-а и Государственного контракта № П960 Федеральной целевой программы "Научные и научно-педагогические кадры инновационной России" на 2009—2013 гг.

Рис. 4. Псевдогексагональный мотив расположения катионов в структуре $[\text{Ni}(\text{en})_3](\text{ReO}_4)_2$ в направлении оси z. Пунктиром показаны семейства плоскостей $(1\ 1\ 0)$ и $(1\ -1\ 0)$. Атомы C, N, H не показаны



СПИСОК ЛИТЕРАТУРЫ

1. Губанов А.И. Двойные комплексы с тетрамминными катионами — предшественники металлических порошков: Автореф. дис. ... канд. хим. наук. – Новосибирск: ИНХ СО РАН, 2002.
2. Коренев С.В. Синтез, строение и физико-химические свойства двойных комплексных солей платиновых металлов с аммиаком и галогенид-ионами: Автореф. дис. ... докт. хим. наук. – Новосибирск: ИНХ СО РАН, 2003.
3. Юсенко К.В. Двойные комплексные соли гексахлоро-(бромо)металлатов(IV) (Ir, Pt, Os, Re) хлоропентамминов родия(III) и иридия(III): Автореф. дис. ... канд. хим. наук. – Новосибирск: ИНХ СО РАН, 2005.
4. Задесенец А.В. Синтез и физико-химическое исследование комплексных солей — предшественников ультрадисперсных металлических порошков, содержащих Pt, Pd и некоторые неблагородные металлы: Автореф. дис. ... канд. хим. наук. – Новосибирск: ИНХ СО РАН, 2008.
5. Плюснин П.Е. Синтез и физико-химическое исследование двойных комплексных солей тетрахлорометаллатов Pd(II), Pt(II) и Au(III): Автореф. дис. ... канд. хим. наук. – Новосибирск: ИНХ СО РАН, 2009.
6. Филатов Е.Ю. Получение и рентгенографическое исследование наноразмерных биметаллических порошков, содержащих платиновые металлы: Автореф. дис. ... канд. хим. наук. – Новосибирск: ИНХ СО РАН, 2009.
7. Шубин Ю.В. Формирование и структурно-фазовые превращения наноразмерных биметаллических частиц на основе благородных металлов: Автореф. дис. ... докт. хим. наук. – Новосибирск: ИНХ СО РАН, 2009.
8. Коренев С.В., Филатов С.В., Шубин Ю.В. и др. // Журн. неорган. химии. – 1996. – **41**, № 5. – С. 770 – 775.
9. Коренев С.В., Венедиктов А.Б., Шубин Ю.В. и др. // Журн. структур. химии. – 2003. – **44**, № 1. – С. 58 – 73.
10. Юсенко К.В., Шубин Ю.В., Скрябина О.Н. и др. // Журн. неорган. химии. – 2006. – **51**, № 4. – С. 573 – 582.
11. Sheldrick G.M. // Acta Crystallogr. – 2008. – **A64**, N 1. – P. 112 – 122.
12. Allen F.H. // Acta Crystallogr. – 2002. – **B58**, N 3-1. – P. 380 – 388.
13. Борисов С.В. // Журн. структур. химии. – 1986. – **27**, № 3. – С. 164 – 167.
14. Громилов С.А., Борисов С.В. // Журн. структур. химии. – 2003. – **44**, № 4. – С. 724 – 742.
15. Громилов С.А. Определение структурных мотивов координационных соединений на основе точных рентгendifрактометрических данных поликристаллов: Автореф. дис. ... докт. физ.-мат. наук. – Новосибирск: ИНХ СО РАН, 2003.
16. Kraus W., Nolze G. // J. Appl. Cryst. – 1996. – **29**. – P. 301 – 302.
17. Диаграммы состояния двойных металлических систем: Справочник: в 3 т.: Т. 3. Кн. 1 / Под ред. Н.П. Лякишева. – М.: Машиностроение, 2001.